

دوفصلنامه علمی-پژوهشی هیدروفیزیک

دوره سوم، شماره دوم (پاییز و زمستان ۱۳۹۶)

تخمین نیروی پسا و مقاومت اصطکاکی پک کشتی با استفاده از مدل سازی عددی و نتایج ارزیابی آزمایشگاهی هومن حکیم‌زاده^۱، مسعود توابی آزاد^{۲*}، محمد علی بدربی^۳، فرهود آذرسینا^۴، مجتبی عظام^۵

h.hakimzadeh@srbiau.ac.ir

^۱ دانشجوی دکتری فیزیک دریا، واحد علوم و تحقیقات، دانشگاه آزاد اسلامی، تهران

m_azad@iau-tnb.ac.ir

^{۲*} نویسنده مسئول، دانشیار، دانشگاه آزاد اسلامی واحد تهران شمال، تهران

malbdr@cc.iut.ac.ir

^۳ استادیار، پژوهشکده علوم و فناوری زیر دریا، دانشگاه صنعتی اصفهان، اصفهان

farhoodazi@gmail.com

^۴ استادیار، گروه صنایع دریایی، واحد علوم و تحقیقات، دانشگاه آزاد اسلامی، تهران

ezam@srbiau.ac.ir

^۵ استادیار، گروه فیزیک دریا، واحد علوم و تحقیقات، دانشگاه آزاد اسلامی، تهران

تاریخ پذیرش: ۹۷/۷/۲۵

تاریخ دریافت: ۹۷/۳/۲۳

چکیده

به دلیل قیمت بسیار بالای سوخت کشتی و با هدف رعایت مقررات زیست محیطی دریا، شناسایی مقادیر نیروی پسای کشتی درون آب اولین و اساسی ترین قدم در کنترل مصرف بهینه سوخت محاسبه می شود. از طریق روش عددی و با استفاده از نرم افزار سی اف ایکس، برای اولین بار نیروی پسا و مقاومت اصطکاکی مدل مقایسه شده یک کشتی نفت کش غول پیکر به طول ۲/۷۴ متر، عرض ۰/۵ متر و آبخور ۱/۷ متر محاسبه شده است. حل عددی نیروی پسای مدل برای ۵ سرعت مختلف از ۰/۸۵ تا ۰/۱۸۵ متر بر ثانیه انجام شده است. تفاوت این پژوهش با سایر تحقیقات، انتخاب سرعتها و آبخورهای مدل بر اساس شرایط واقعی سرویس دهنی کشتی است. به منظور اعتبارسنجی، نتایج آزمون های انجام شده بر روی مدل این کشتی در حوضچه کشش با نتایج مدل عددی مقایسه شده است. بر اساس راستی آزمایی های انجام شده، در آبخورهای میانگین ۱/۰ و ۱۶/۵ سانتی متر، اختلاف مقادیر نیروی پسای به دست آمده از مدل آزمایشگاهی و مدل عددی در اعداد فرود ۰/۱۳ تا ۰/۱۶، حداقل ۳/۵٪ و حداً کثر ۱۵/۴٪ و نسبت مقاومت اصطکاکی به مقاومت کل کشتی حداقل ۸۵٪ و حداً کثر ۹۳٪ است. نتایج به دست آمده از این پژوهش جهت تخمین اثر عوامل فیزیکی محیط دریا بر مقاومت اصطکاکی، سرعت و مصرف سوخت کشتی در شرایط واقعی دریا مورد استفاده قرار گرفته است.

واژه های کلیدی: نرم افزار سی اف ایکس، کشتی نفت کش، شیوه سازی آزمایشگاهی، نیروی پسای کشتی

تشخیص دادند و نشان دادند که نوع پوشش بدن بر مقاومت اصطکاکی تأثیرگذار است [۲]. میر عابدینی و همکاران اثر ۳ نمونه پوشش دریایی بدن بر مقاومت اصطکاکی یک شناور را بررسی نمودند و یک نمونه از این پوشش‌ها به نام الاستومر سیلیکونی را به عنوان بهترین پوشش معرفی نمودند [۳]. این پوشش در سرعت‌های مختلف ۱۰ تا ۲۱ درصد موج بکاهش مقاومت اصطکاکی و جذب کمتر رسوبات دریایی می‌گردد. قاسمی و موسوی زادگان، روش‌های محاسبه مقاومت افزوده شناور در امواج را ارائه نمودند [۴]. نتایج تحقیقات آن‌ها نشان داده است که در طول موج‌های خیلی بزرگ‌تر و خیلی کوچک‌تر از طول کشی مقدار مقاومت اضافی شناور به سمت صفر می‌کند. علی‌اکبری و همکاران مقاومت وارده بر یک یدک کش را در سرعت‌های مختلف با استفاده از مدل آزمایشگاهی بررسی و مقدار قدرت موتوور انتخابی برای این یدک کش را پیشنهاد نمودند [۵]. احمدزاده طلاطپه و موسوی با استفاده از دینامیک سیالات محاسباتی اثر خزه‌های دریایی سطح شناورها بر مقاومت کل را بررسی و نشان دادند که لایه نازک رسوی بر روی بدن شناورها حدود ۴/۵۸ درصد نیروی پسا را افزایش می‌دهد [۶]. یمین با استفاده از یک مدل دینامیک سیالات محاسباتی نحوه مقاومت بدن کشی در برابر موج را موردنبررسی قرار داد و مدل بهینه بدن کشی را بهبود بخشد [۷]. هاکان و همکاران مقاومت مدل یک کشی را محاسبه و با نتایج آزمایشگاهی مقایسه نمودند [۸]. سوچی موتو و همکاران روشی برای محاسبه مقاومت افزوده در امواج و روشی برای تخمین مصرف سوخت با استفاده از شاخص سوخت ارائه و نتایج را با داده‌های مدل آزمایشگاهی و کشی مقایسه کردند. این مقایسه نشان داد که روش پیشنهادی آن‌ها برای محاسبه مقاومت افزوده در امواج قابلیت نسبتاً مناسب‌تری نسبت به سایر روش‌ها دارد [۹]. بنکر و همکاران به صورت عددی، مؤلفه‌های مقاومت یک کشی کانتینر بر را با دینامیک سیالات محاسبه و نتایج به دست آمده را با نتایج مدل آزمایشگاهی مقایسه نمودند [۱۰]. کیم و همکاران با استفاده از روش شبکه‌بندی تفکیک شده، شبیه‌سازی را به وسیله دینامیک سیالات محاسباتی برای پیش‌بینی مقاومت افزوده در یک کشی کانتینر بر انجام دادند. نتایج مقایسه‌ای

۱. مقدمه

نیروی پسای کل کشی عبارت است از نیروهای ویسکوز و موج ایجادشده اطراف کشی و نیروی ناشی از هوا که در خلاف جهت حرکت کشی، با سرعتی ثابت و در یک خط مستقیم در آب را کد بر آن وارد می‌شود. مقاومت اصطکاکی بزرگ‌گر ترین مؤلفه از مقاومت کل یا همان نیروی پسای کشی است. ترکیب شرایط محیطی دریا و کیفیت پوشش بدن کشی‌ها باعث تغییر مقادیر مقاومت اصطکاکی کشی می‌شود. افزایش مقاومت اصطکاکی باعث کاهش سرعت کشی در آب می‌شود. یکی از روش‌های جبران کاهش ناخواسته سرعت کشی، افزایش نیروی موتوور و درنتیجه افزایش مصرف سوخت کشی است. استفاده از این روش علاوه بر تحمل هزینه‌های ناشی از قیمت بسیار بالای سوخت کشی، باعث افزایش آلاینده‌های زیست‌محیطی می‌گردد. بنابراین شناسایی و کاهش مقاومت اصطکاکی بدن کشی‌ها با استفاده از روش‌های علمی نقش بسیار مهمی در کاهش هزینه‌های ذکر شده خواهد داشت. مطابق دستورالعمل‌های ارائه شده در استاندارد نویای ۱۹۰۳۰، که به صورت پیوسته در حال توسعه و روزآوری است، استفاده از دینامیک سیالات محاسباتی برای تخمین مقاومت کشی در آبخورهای مختلف موردنوجه می‌باشد [۱]. روش‌های عددی که با استفاده از نرم‌افزارهای دینامیک سیالات محاسباتی انجام می‌شود، جزئیات بیشتری از نتایج شبیه‌سازی ارائه می‌کند؛ اما در این روش‌ها به دلیل دقت کمتر نتایج و با هدف راستی آزمایی، می‌بایست نتایج مدل عددی با نتایج حاصل از روش شبیه‌سازی آزمایشگاهی مقایسه شود. هم‌اکنون یکی از مشکلات موجود برای شناسایی نیروی پسای بدن کشی‌ها، مقیاس سازی رسوبات کوچک، مقیاس بدن کشی، متناسب با بعد واقعی آن است. در سال‌های اخیر روش شبیه‌سازی عددی مستقیم (دی ان اس) به عنوان روش قابل اعتماد از لحاظ علمی برای درک نحوه قرارگیری فیزیک جریان بر روی دیوارهای بدن کشی بیشتر مورد استفاده قرار گرفته است. البته این روش فقط در مقیاس محدودی از عده‌های رینولدز قابلیت اجرا دارد.

اکبری و همکاران با بررسی چند نمونه پوشش دریایی بدن کشی، نمونه مناسبی جهت بهره‌برداری در بدن شناور

- آخرین یافته‌های تحقیقاتی آی.تی.سی.^۱ در سال ۲۰۱۷ شامل موارد زیر است:
۱. شناسایی رویکردهای جدید آزمایشگاهی جهت جمع آوری و پایش رشد و شکل‌گیری رسوب بدنی و ارزیابی اثر آن‌ها بر خصوصیات مقاومت اصطکاکی؛
 ۲. ارائه پیشنهادهایی در خصوص مقاومت و دستورالعمل‌های محاسبه مقاومت هنگام استفاده از روش دینامیک سیالات محاسباتی؛
 ۳. تحقیق و بررسی اثرات زبری سطح مدل کشتی بر نتایج اندازه‌گیری مقاومت در حوضچه کشن؛
 ۴. بازنگری روش‌های نوین شبیه‌سازی تلاطم در حوضچه کشن.

هدف از این پژوهش محاسبه نیروی پسای یک کشتی نفت‌کش در آب ساکن است. در ادامه کارهای پژوهشی آتی با استفاده از مقادیر محاسبه شده، مقادیر واقعی افزایش مصرف سوخت و کاهش سرعت ناخواسته کشتی در اثر افزایش مقاومت اصطکاکی، ناشی از تغییرات زبری بدنی و پروانه و شرایط فیزیکی محیط دریا بر اساس دستورالعمل‌های استاندارد ۱۹۰۳۰ در حین سرویس‌دهی محاسبه می‌شود. در ادامه این مطالعه، دو روش "نیروی پسای یک کشتی نفت‌کش" با مشخصات ارائه شده در جدول ۱ و شکل ۱ در حالت‌های پر و خالی مورد ارزیابی قرار گرفته است. جهت اعتبارسنجی نیز، نتایج حاصل از شبیه‌سازی عددی و مدل آزمایشگاهی با یکدیگر مقایسه شده است. نتایج حاصل از این پژوهش می‌تواند مقدمه‌ای بر آغاز تحقیقات علمی پژوهشگران در خصوص شبیه‌سازی عددی اثر فیزیکی محیط دریا بر قدرت مانور، موتور، حرکات بدنی و برهمکنش اثر محموله و مخازن بار یک کشتی نفت‌کش در شرایط نامساعد دریا باشد.

۲. مواد و روش‌ها

مدل آزمایشگاهی این نفت‌کش با مقیاس ۱:۱۰۰ و مطابق با دستورالعمل‌های آی.تی.سی ساخته شده است. مشخصات مدل در جدول (۱) و شکل (۱) ارائه شده است.

در این پژوهش با استفاده از نرم‌افزار سی اف ایکس یک شبکه یکپارچه بی ساختار در کل میدان حل ایجاد شده است.

تحقیق آن‌ها با نتایج حاصل از آزمون‌های آزمایشگاهی، به استثنای فرکانس‌های تشخیص شده، مشابه است [۱۱]. دمیرال و همکاران روش آزمایشگاهی نوین برای پیش‌بینی مقاومت افزوده در اثر رسوبات آهکی ارائه نمودند. اساس رویکرد آن‌ها بر آزمایش‌های گسترده‌ای بود که در حوضچه کشن، اثر درصد پوشش و محل قرار گیری رسوبات را در اعداد رینولذ گوناگون بر روی یک صفحه صاف به صورت مصنوعی بررسی می‌کرد. لی و همکاران خصوصیات زبری یک لایه کشت شده در شرایط محیطی کنترل شده را ارزیابی و اثر آن را بر مقاومت اصطکاکی بررسی کردند. ساویو و همکاران با استفاده از اسکنر سه بعدی با وضوح بالا مشخصات زبری یک صفحه را اندازه‌گیری نمودند. مونتی و همکاران نیروی پسای یک صفحه زبر با زبری ماسه‌ای معادل ۳۲۵ میکرون را در تونل باد اندازه‌گیری نمودند. نتایج تحقیق آن‌ها نشان داده است که برای یک کشتی تندرو تا ۵۹٪ و برای یک نفت‌کش غول‌پیکر تا ۳۴٪ مقادیر پسای کل در سرعت‌های مختلف (در صورت عدم اثر گذاری مقاومت باقی‌مانده) افزایش خواهد یافت. توران و همکاران پسای یک صفحه صاف با پوشش ۵٪ تا ۲۰٪ رسوب سخت را در حوضچه کشن مطالعه کردند. نتایج تحقیقات آن‌ها نشان داده است که اصطکاک یک کشتی گازبر از ۳۷٪ تا ۹۸٪ و نیروی پسای آن از ۲۳٪ تا ۶۰٪ هنگامی که پوش بدن بین ۵٪ تا ۲۰٪ رسوب سخت گرفته باشد افزایش خواهد یافت. اسپرینگر و همکاران یک پایگاه داده‌ها که قادر بود عملیات کشتی در آب و هوای نامناسب را ارزیابی نماید برقرار ساختند. به عنوان بخشی از پروژه شوپرا، ۱۳۰۰ آزمون مدل بر روی بدن ۳ کشتی در ۴ آزمایشگاه در اروپا انجام شد. مقاومت افزوده و نیروی انحراف از مسیر ارزیابی شده و توسط آن‌ها مشخص گردید، نسبت حرکت کشتی به دامنه موج برای مقاومت افزوده در طول موج‌های نسبتاً کوتاه افزایش می‌یابد. راون و همکاران برای تعیین اثر آب کم عمق بر مقاومت موجی، با استفاده از یک کد، شرایط مرزی سطح آزاد کاملاً غیرخطی را در نظر گرفتند. محاسبات برای ۶ نوع کشتی در چندین سرعت انجام شد. نتایج نشان داد که در اعداد فرود عمق کوچک‌تر از ۰/۶۵ به طور کلی، مقاومت موجی افزایش نخواهد یافت.

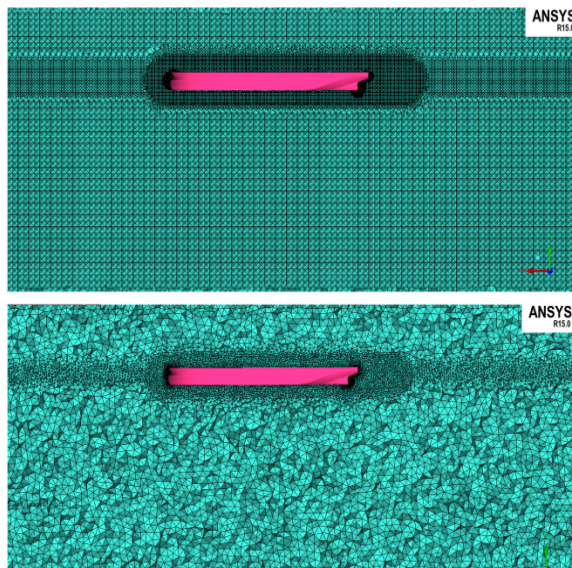
استفاده می‌کند. این مدل یکی از پرکاربردترین و مناسب‌ترین مدل‌های دو معادله‌ای است که علاوه بر دقت کافی، برای مدل‌سازی نیز پایداری مناسبی دارد و به دلیل هزینه محاسباتی کم، یکی از پرکاربردترین مدل‌های اغتشاشی محسوب می‌شود. در این مدل فرض بر این است که جریان به شدت اغتشاشی بوده و تأثیر لزجت گردابه‌ای از لزجت مولکولی بیشتر است. در بیشترین سرعت واقعی کشتی، سرعت معادل مدل 0.85 متر بر ثانیه و عدد بدون بعد رینولدز معادل $10^6 \times 2/672$ است. برای محاسبه ضخامت اولین لایه از رابطه تجربی (۳) استفاده شده است [۱۳].

$$\Delta y = 8.6 L_y + R_e^{-13/14} \quad (3)$$

در این رابطه L طول، Δy ارتفاع بدون بعد اولین لایه و R_e ضخامت با بعد اولین لایه درون لایه‌های مرزی می‌باشد.

۱.۳-۲. ایجاد شبکه

شبکه محاسباتی مورد نیاز در تحقیق حاضر با استفاده از الگوی شبکه اکتروی^۱ و اجرای الگوی شبکه دلانی^۲ بر روی آن ایجاد شده است. (ترکیب دو رویکرد تولید شبکه). (شکل ۲ و جدول ۲). سپس با ارتقاء کیفیت و افزایش وضوح، شبکه لایه مرزی بر روی شبکه هموار تولید شده است.

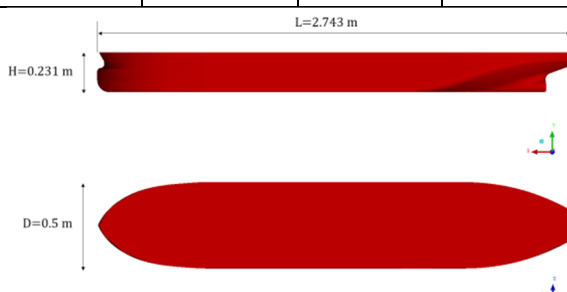


شکل ۲. برش شبکه Octree (بالا) و شبکه Delaunay (پایین) در صفحه عمود بر Z

پس از تهیه فایل سه‌بعدی مختصات کشتی و ورود آن به نرم‌افزار، اصلاحات موردنیاز بر روی هندسه کشتی انجام شده و از کیفیت هندسه تهیه شده اطمینان حاصل شده است. مراحل بعدی شامل ایجاد میدان‌های حل، ایجاد شبکه محاسباتی و ارتقاء کیفیت آن، وارد کردن شبکه محاسباتی آماده شده به بخش پیش‌پردازش جهت مدل‌سازی و درنهایت استخراج نتایج در بخش پس‌پردازش است.

جدول ۱. ابعاد مدل آزمایشگاهی کشتی

آبخور (میلی‌متر)	ارتفاع (میلی‌متر)	عرض (میلی‌متر)	طول (میلی‌متر)
۱۷۰	۲۳۰	۵۰۰	۲۷۴۱



شکل ۱. ابعاد مدل کشتی در نرم‌افزار سی اف ایکس

۲. تئوری و محاسبات

۱-۳. معادلات

معادلات حاکم بر میدان جریان سیال همان معادلات ناویر استوکس هستند. در تحلیل جریان‌های تلاطمی به علت اثر حرکت‌های اغتشاشی حل آن‌ها به‌طور مستقیم بسیار دشوار است. به همین دلیل از شکل متوسط گیری شده معادلات ناویر استوکس (RANS) به صورت رابطه‌های ۱ و ۲ استفاده شده است [۱۲]:

$$\frac{\partial \bar{U}_i}{\partial x_i} = 0 \quad (1)$$

$$\frac{\partial \bar{U}_i}{\partial t} + \frac{\partial \bar{U}_i \bar{U}_j}{\partial x_j} = -\frac{1}{\rho} \frac{\partial p}{\partial x_i} \frac{\partial}{\partial x_j} \left\{ v \left(\frac{\partial \bar{U}_i}{\partial x_j} + \frac{\partial \bar{U}_j}{\partial x_i} \right) \right\} - \frac{\partial \bar{U}_i \bar{U}_j}{\partial x_j} + f_i \quad (2)$$

در این معادلات، عبارت تنش رینولدز ($\bar{U}_i \bar{U}_j$) به معادلات افروده شده است. در این تحقیق از مدل تلاطمی k-ε جهت مدل‌سازی تنش‌های رینولدز در معادلات متوسط گیری شده ناویر استوکس استفاده شده است. مدل اغتشاشی k-ε از توابع تجربی جهت مدل‌سازی لایه‌های نزدیک به مرز دیواره

به دلیل نیاز به بررسی دقیق‌تر سطح آزاد، در هر یک از دو آبخور ۸ و ۱۶/۵ سانتی‌متر، همچنین پیچیدگی‌های هندسی و تغییرات شدید متغیرهای جریان در برخی نواحی از دامنه محاسباتی مانند بخش سینه و پاشنه کشتی، ابعاد شبکه حل پیرامون سطح آزاد به میزان کافی کوچک شده است.

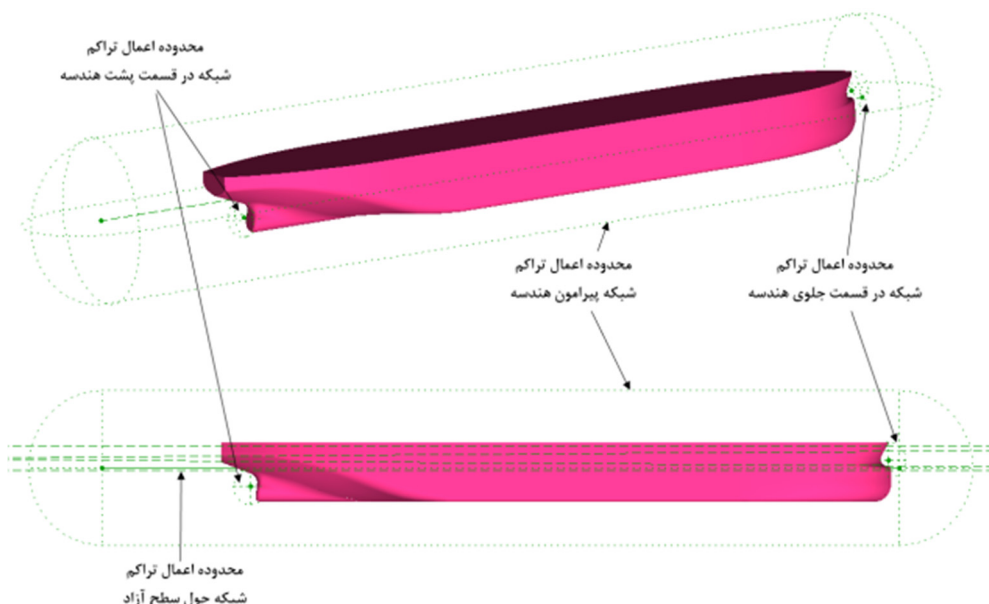
(شکل‌های ۳ و ۴)

جدول ۲. مشخصات شبکه محاسباتی

وضعیت حل	آبخور (سانتی‌متر)	ساختار شبکه	تعداد کل المان‌ها	تعداد کل گره‌ها
کل میدان	۸	بی ساختار	۴۶۶۷۰۶۴	۹۳۳۸۷۶
کل میدان	۱۶/۵	بی ساختار	۴۶۵۷۸۶۰	۹۲۹۶۵۳



شکل ۳. موقعیت سطح آزاد و آبخور کشتی در دو حالت مورد نظر ۸ و ۱۶/۵ سانتی‌متر



شکل ۴. محدوده‌های اعمال تراکم شبکه

۳-۳. تولید میدان حل

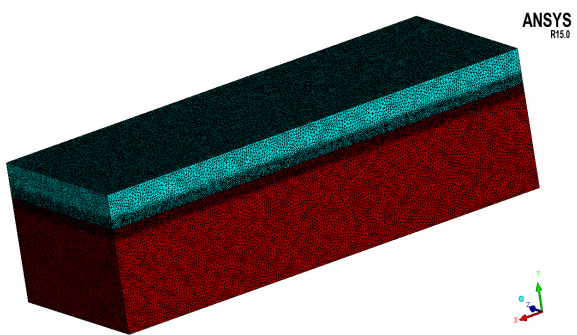
نامنظم و تحلیل عددی استفاده شده است. مزیت استفاده از این رویکرد، یکپارچگی شبکه و افزایش میزان پایداری حل است. (شکل‌های ۵ و ۶).

در تحلیل مسائل با استفاده از دینامیک سیالات محاسباتی، ساخت و کیفیت شبکه محاسباتی ایجاد شده پیرامون مدل، تأثیر بسیار زیادی بر همگرایی، صحت و دقت نتایج دارد. در تحلیل حاضر از یک میدان حل منفرد جهت تولید شبکه

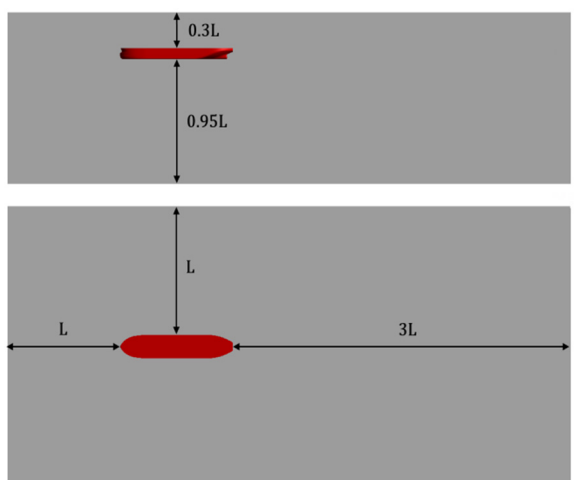
۴-۳. شرایط مرزی

ابتدا شبکه حل در بخش پیش‌پرداز نرم‌افزار فراخوانی شده است. شرایط مرزی بر روی شبکه اعمال شده و مسئله برای حل آماده شده است. برای مرز ورود از شرط جریان یکنواخت به عنوان شرط مرزی معادلات مومنتوم استفاده شده است. شرط مرزی در خروجی شبکه از نوع جریان خروجی در نظر گرفته شد. به عبارتی از توزیع فشار هیدرولاستاتیک برای فاز آب و از فشار ثابت اتمسفر برای فاز هوا به عنوان شرط مرزی خروجی معادلات مومنتوم استفاده گردید.

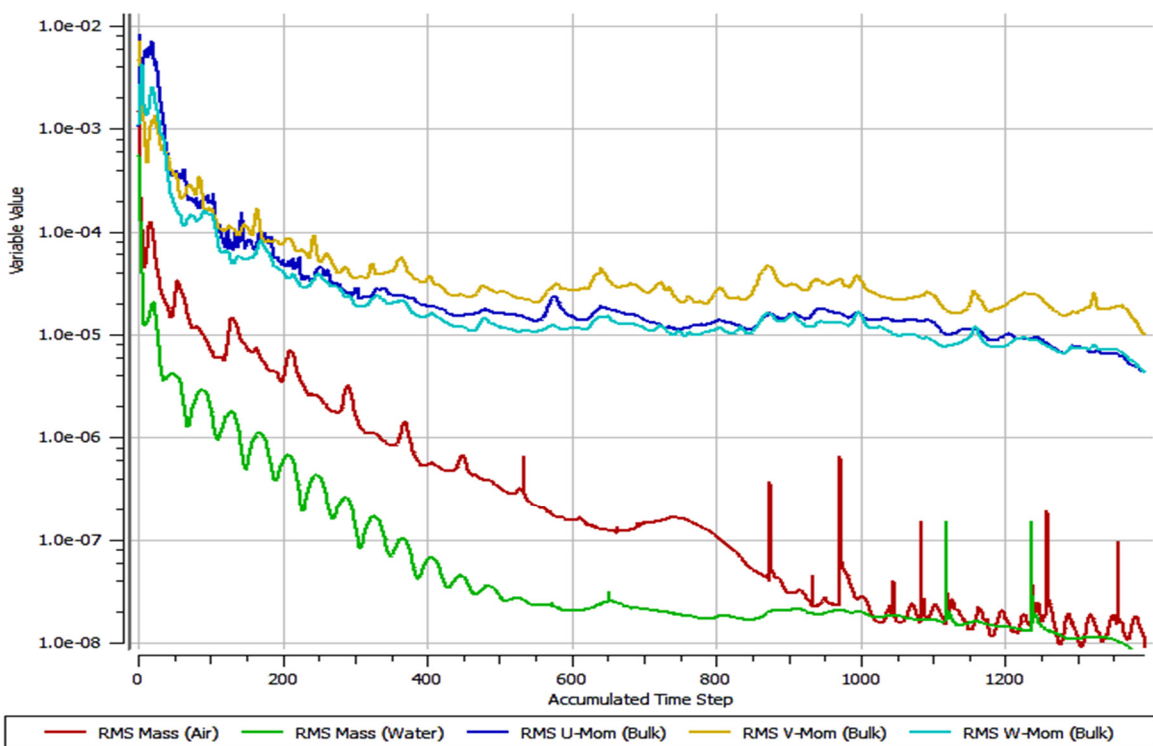
در مرز خروجی همانند مرز ورودی از پروفیل کسر حجمی مشابه استفاده شده است. برای معادلات تلاطمی نیز از شرط توسعه یافته‌گی (گرادیان صفر) استفاده به عمل آمد. برای دیوارهای جانبی میدان حل، مرز فوقانی و تحتانی از شرط لغزش آزاد که تنش برشی بر روی آن صفر است استفاده شد. در این شرایط سرعت عمود بر سطح صفر و سرعت مماسی دقیقاً معادل مقدار محاسبه شده در اولین گره بعد از دیوار است. در بخش حل کننده نرم‌افزار، گام زمانی برای جریان آزاد بر اساس نسبت مقیاس طول (طول کشته) به مقیاس سرعت انتخاب شده است.



شکل ۵. نمایی از شبکه محاسباتی در کل میدان حل



شکل ۶. موقعیت مرزهای میدان حل نسبت به کشتی



شکل ۷. منحنی مقادیر باقی مانده برای معادلات بقاء و مومنتوم و برقراری معیار همگرایی 10^{-5}

تعیین سناریوی اجرای آزمون، آماده‌سازی مدل جهت انجام آزمایش، قلق‌گیری سیستم اندازه‌گیری نیرو، نصب مدل به اربابه کشش، انجام آزمون‌ها با توجه به سناریوی تعیین شده و استخراج داده‌ها از سیستم، تحلیل داده‌ها و ارائه نتایج، صورت گرفته است. برای اجرای آزمون‌های کشش بر روی مدل مقیاس شده نفت کش سالینا از حوضچه کشش پژوهشکده علوم و فناوری زیردریا در دانشگاه صنعتی اصفهان استفاده شده است. (شکل ۸). طول این حوضچه ۱۰۸ متر، عرض آن ۳ متر و عمق آن ۲/۲ متر است.



شکل ۸ مدل مقیاس شده نفت کش سالینا در حوضچه کشش دانشگاه صنعتی اصفهان

مطابق جدول ۳، اجرای آزمون‌های کشش مدل در آبخورهای میانگین ۸ و ۱۶/۵ سانتی متر در پنج سرعت متفاوت انجام شد. مقادیر به دست آمده در هر آزمون به صورت رایانه‌ای ثبت شده است.

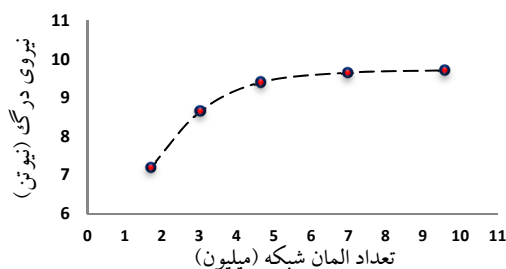
مقادیر باقی‌مانده یکی از اساسی‌ترین شاخص‌ها در همگرایی محاسبات عددی تکرارشونده است که به طور مستقیم میزان خطای را در حل دستگاه معادلات تعیین می‌کند. به این منظور توازن محاسباتی و همگرایی مقدار نیروی پسای کشتی به عنوان یک کمیت انتگرالی با اهمیت برای تمامی محاسبات، پایش شده است. در طی مدت حل معادلات، در همه محاسبات عددی، شاخص همگرایی^۴ ۱۰ در نظر گرفته شده است. به عنوان نمونه، اطلاعات مربوط به همگرایی مربوط به آبخور ۰/۱۶۵ متر و سرعت ۱/۵۵ گره (معادل ۰/۷۹۷۴ متر بر ثانیه) در شکل ۷ ارائه شده است.

۳-۵. شبیه‌سازی مدل آزمایشگاهی

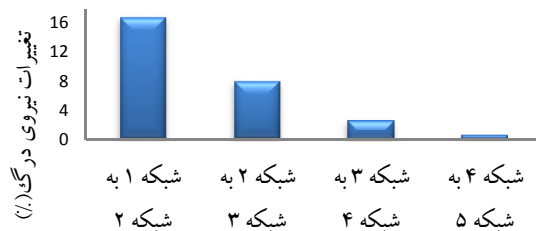
هدف از انجام آزمون‌های مدل در حوضچه کشش، تعیین مقادیر پسای کشتی و مقایسه آن با نتایج حاصل از شبیه‌سازی عددی است. به این منظور، مدل این نفت کش با مقیاس ۱:۱۰۰ و با دقت هندسی ۰/۰۵ میلی‌متر به طول ۲/۷۴ متر، عرض ۰/۵ متر، آبخور ۰/۱۷ متر و ارتفاع ۰/۲۳ متر مطابق با استانداردهای آی. تی. سی طراحی و ساخته شده است. آزمون‌های محاسبه نیروی پسای مدل برای ۵ سرعت مختلف از ۰/۶۵ تا ۰/۸۵ متر بر ثانیه (معادل با سرعت‌های واقعی کشتی، ۱۲/۵، ۱۳/۵، ۱۴/۵، ۱۵/۵ و ۱۶/۵ گره) مطابق با مدل عددی در حوضچه کشش انجام شده است. فرایند اجرای آزمون‌های هیدرودینامیک درون حوضچه کشش شامل

جدول ۳. نحوه اجرای آزمون مدل در حوضچه کشش

آبخور مدل (سانتی متر)	سرعت‌های مدل (متر بر ثانیه)	تعداد آزمون	تعداد تکرار	تعداد کل آزمون‌ها
۸	۰/۶۵	۵	۶	۳۰
۰/۷۰				
۰/۷۵				
۰/۸۰				
۰/۸۵				
۱۶/۵	۰/۶۵	۵	۶	۳۰
۰/۷۰				
۰/۷۵				
۰/۸۰				
۰/۸۵				



شکل ۹. نمودار تغییرات نیروی پسا کشته و کیفیت شبکه حل



شکل ۱۰. نمودار درصد تغییرات نیروی پسا کشته با تغییر نوع شبکه

۴-۲. نتایج حاصل از آزمون‌های مدل در حوضچه کشش

مطابق نتایج حاصل از آزمایش مدل کشته در حوضچه کشش، در آبخور میانگین ۸ سانتی‌متر، میانگین بیشترین نیروی پسا در سرعت $0/85$ متر بر ثانیه برابر با $5/92$ نیوتون و کمترین مقدار این نیرو در سرعت $0/65$ متر بر ثانیه برابر با $4/14$ نیوتون مشاهده شده است. در آبخور میانگین $16/5$ سانتی‌متر، میانگین بیشترین نیروی پسا در سرعت $0/85$ متر بر ثانیه برابر با $10/79$ نیوتون و کمترین مقدار آن در سرعت $0/65$ متر بر ثانیه برابر با 6 نیوتون حاصل شده است. در مجموع طبق محاسبات انجام شده در خصوص عدم قطعیت، در سرعت‌های منتخب $0/65$ ، $0/70$ ، $0/75$ ، $0/80$ و $0/85$ متر بر ثانیه، بیشترین عدم قطعیت مقاومت اندازه‌گیری شده مدل در آبخور 8 سانتی‌متر برابر با $0/89$ درصد و در آبخور $16/5$ سانتی‌متر برابر با $0/77$ درصد محاسبه شده است.

۴-۳. نتایج حاصل از شبیه‌سازی عددی

مطابق نتایج حاصل از شبیه‌سازی عددی مدل کشته که با استفاده از نرم‌افزار سی اف ایکس انجام شد، در آبخور میانگین 8 سانتی‌متر، میانگین بیشترین نیروی پسا کل در سرعت $0/85$ متر بر ثانیه برابر با $6/89$ نیوتون و کمترین مقدار آن در سرعت $0/65$ متر بر ثانیه برابر با $4/29$ نیوتون است. در

فرایند یکسان‌سازی و حذف اطلاعات به دست آمده ناقص در هر آزمون لحاظ شد. با استفاده از مقادیر به دست آمده، ضریب مقاومت کل مدل محاسبه گردید. با کسر ضریب مقاومت اصطکاکی و مقاومت هوا از روش ارائه شده به وسیله آی. تی. تی. سی، ضریب مقاومت موج مدل که برابر با ضریب مقاومت موج کشتی نیز می‌باشد، محاسبه شده است. با افزودن ضریب مقاومت اصطکاکی و ضریب مقاومت هوا، همچنین مقادیر تصحیح ناشی از اختلاف زیری سطح پوشش مدل و کشتی به ضریب مقاومت موج کشتی، ضریب مقاومت کل کشتی و از آنجا نیروی پسا کل کشتی در سرعت‌های موردنظر به دست آمده است.

۴. یافته‌ها

۱-۴. بررسی استقلال نتایج از شبکه حل

به منظور بررسی استقلال نتایج شبیه‌سازی از شبکه محاسباتی، پنج شبکه با مشخصات مندرج در جدول ۴ در نظر گرفته شده است.

جدول ۴. مشخصات شبکه‌های محاسباتی جهت ارزیابی شبکه

کیفیت شبکه	تعداد کل المان‌ها	y ⁺
شبکه ۱	۱۶۹۸۵۲۸	۶۰
شبکه ۲	۳۰۲۶۵۶۲	۶۰
شبکه ۳	۴۶۵۷۸۶۰	۶۰
شبکه ۴	۶۹۸۲۷۷۴	۶۰
شبکه ۵	۹۵۸۶۳۲۲	۶۰

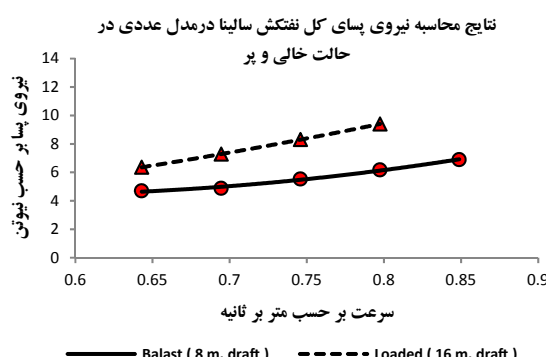
جهت بررسی استقلال نتایج عددی از شبکه محاسباتی در بحرانی‌ترین حالت شبیه‌سازی یعنی آبخور $16/5$ متر و سرعت $1/55$ گره (معادل $7974/0$ متر بر ثانیه)، نیروی پسا برای هر یک از حالت‌های ارائه شده در جدول ۴ استخراج و نتایج در شکل‌های ۹ و ۱۰ ارائه شده است.

همان‌طور که در شکل ۱۰ نشان داده شده است، مقدار این نیرو با تغییر شبکه از حالت ۱ به $16/8$ درصد و از حالت ۲ به 3 حدود 8 درصد تغییر گرده است. در صورتی که با تغییر شبکه از حالت 3 به 4 و 4 به 5 به ترتیب $2/5$ و $0/6$ درصد تغییر می‌کند. با توجه به حجم بالای شبکه در حالت 5 و تغییر $2/5$ درصدی شبکه 3 نسبت به شبکه‌بندی حالت 4 ، از شبکه 3 به عنوان شبکه بهینه در تحلیل‌ها استفاده شده است.

جدول ۵. مقادیر نیروی پسای کشتی

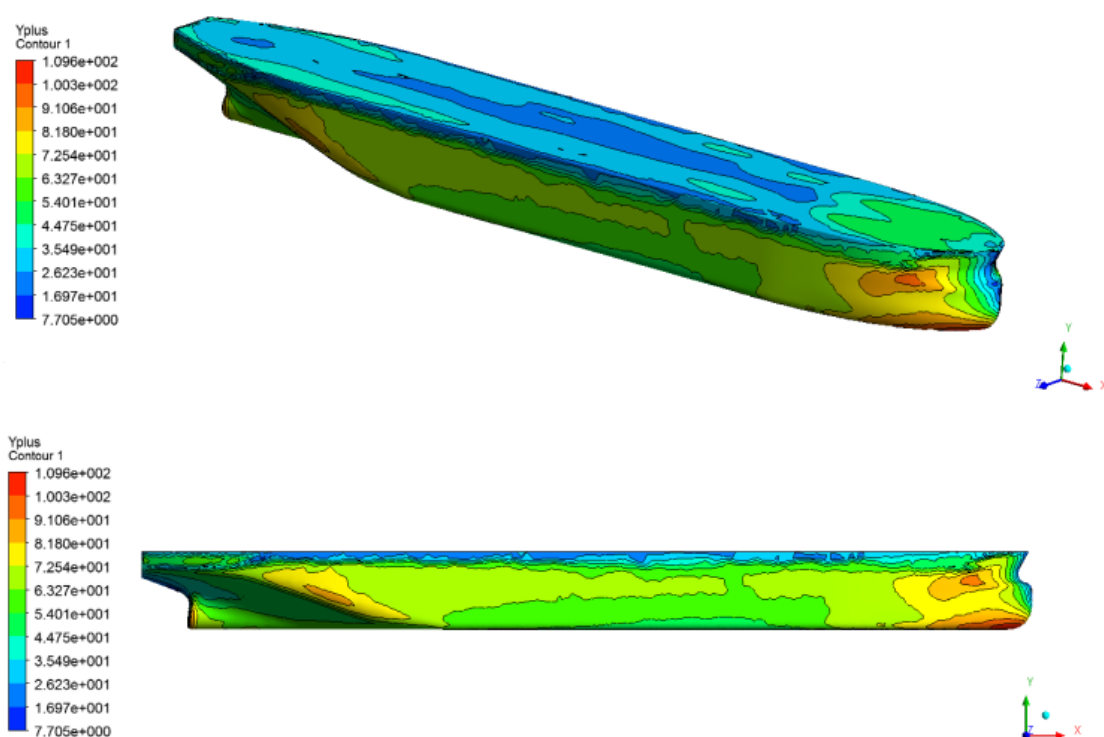
در سرعت‌های موردنظر - در دو حالت خالی و پر

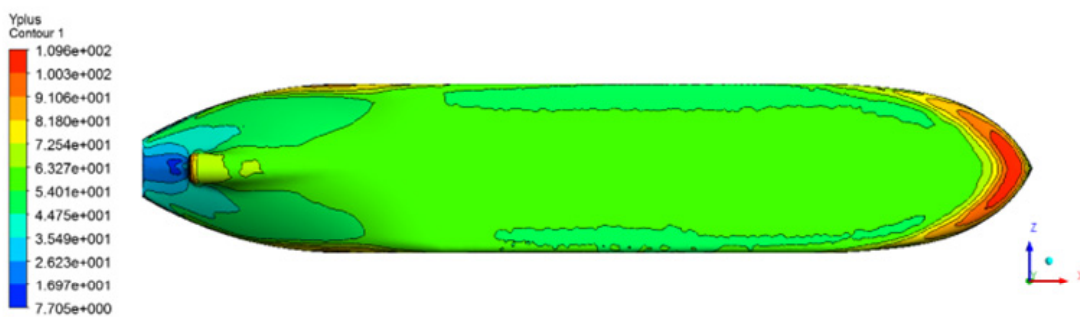
	سرعت کشتی (متر بر ثانیه)	نیروی پسا (نیوتون)		سرعت کشتی (متر بر ثانیه)	نیروی پسا (نیوتون)
۰/۶۴	۴/۲۹		۰/۶۴	۶/۳۶	
۰/۶۹	۴/۸۷		۰/۶۹	۷/۲۸	
۰/۷۴	۵/۵۳		۰/۷۴	۸/۳۱	
۰/۷۹	۶/۱۷		۰/۷۹	۹/۴	
۰/۸۴	۶/۸۹		۰/۸۴	۱۲ توزیع + y	محاسبه نشده



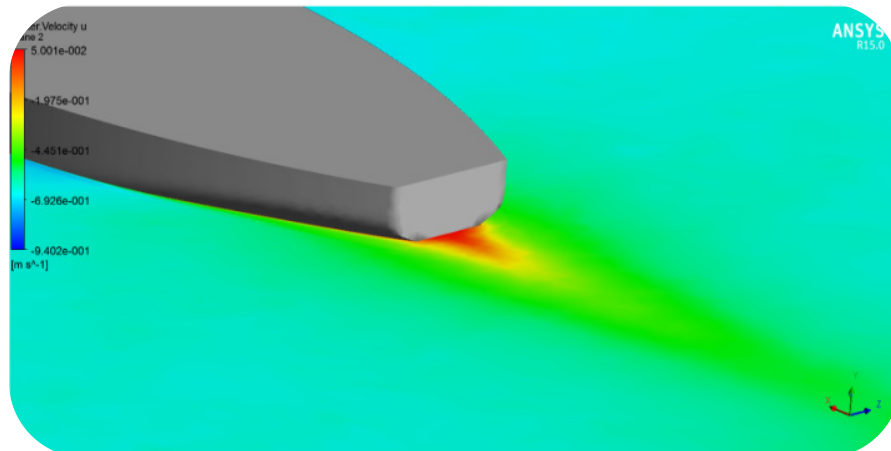
شکل ۱۱. تغییرات نیروی پسا با سرعت و آبخور

آبخور میانگین $16/5$ سانتی‌متر، میانگین بیشترین نیروی پسا در سرعت $0/80$ متر بر ثانیه برابر با $9/4$ نیوتون و کمترین مقدار آن در سرعت $0/65$ متر بر ثانیه برابر با $6/36$ نیوتون است. مقادیر این نیرو در سرعت‌های موردنظر و در دو حالت خالی و پر ($16/5$ و 8 سانتی‌متر) که از بخش «پس پردازش» نرم‌افزار استخراج شده است در جدول ۵ و شکل ۱۱ ارائه شده است. در شکل ۱۲ توزیع $+y$ بر روی بدنه کشتی در آبخور $16/5$ سانتی‌متری و سرعت $1/55$ گره نمایش داده شده است. در شکل‌های ۱۳ و ۱۴ به ترتیب توزیع سرعت محوری در پشت کشتی و توزیع سرعت محوری بر روی پروفیل موج شکل گرفته شده در بخش جلوی کشتی در آبخور $16/5$ سانتی‌متر و در سرعت $1/25$ گره که به وسیله نرم‌افزار سی اف ایکس شبیه‌سازی شده، نشان داده شده است.

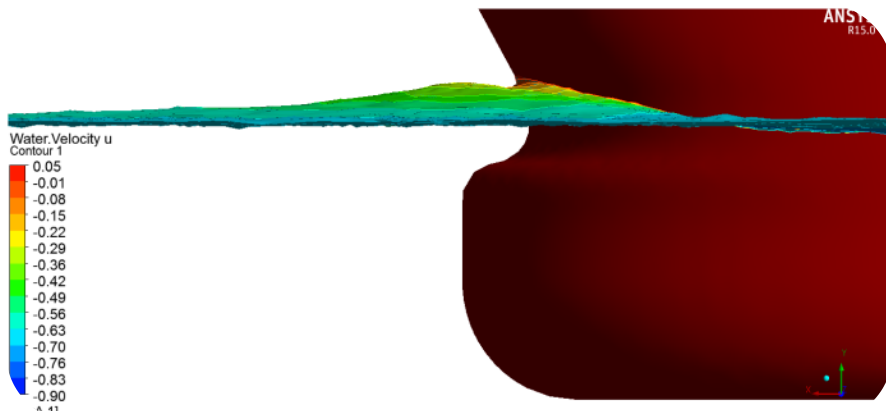
شکل ۱۲. توزیع $+y$ در سه نمای مختلف بر روی بدنه کشتی در آبخور $16/5$ سانتی‌متری و سرعت $1/55$ گره



شکل ۱۲. (ادامه) توزیع $y+$ در سه نمای مختلف بر روی بدنه کشتی در آبخور ۱۶/۵ سانتی متری و سرعت ۱/۵۵ گره



شکل ۱۳. توزیع سرعت محوری در پشت کشتی در آبخور ۱۶/۵ سانتی متر و سرعت ۱/۲۵ گره



شکل ۱۴. توزیع سرعت محوری بر روی پروفیل موج شکل گرفته شده در جلوی کشتی در آبخور ۱۶/۵ سانتی متر و سرعت ۱/۲۵ گره

وزن‌های متفاوت در محدوده قابل قبول ۱۰٪ قرار دارد [۱۶]. روند نتایج تحقیقات پیشین در خصوص یک کشتی فله بر نشان داده است که نتایج حاصل از شیوه‌سازی عددی با استفاده از نرم‌افزار انسیس فلئوئنت^۴ و نتایج مدل آزمایشگاهی کشتی، در سرعت‌های پایین تا ۵٪ در سرعت‌های بالاتر تا ۱۳٪ اختلاف داشته است. ضمن اینکه همواره نیروی پسای به دست آمده از مدل عددی بیشتر از مقادیر به دست آمده از مدل آزمایشگاهی کشتی فله بر بوده است [۱۷].

۵. بحث

از مقایسه تحقیقات پیشین انجام شده در خصوص پیش‌بینی مقادیر عددی و آزمایشگاهی نیروی مقاومت کشتی، مشخص شد که نیروی پسای محاسبه شده بدنه کشتی در حوضچه کشش، شامل مقاومت اصطکاکی، مقاومت موجی و مقاومت هوا، تخمین واقع‌بینانه‌تری ارائه می‌نماید. [۱۵-۱۶] خطای محاسباتی این روش برای بخش وسیعی از کشتی‌ها، با

سانتی‌متر تا ۱۵٪ نیز مشاهده شده است. دلیل این خطا ممکن است مرتبط با ضعف نرم‌افزار سی اف ایکس هنگام شیوه‌سازی مقاومت موجی مدل در سرعت‌های بالاتر باشد. زیرا در سرعت‌های پایین تر اختلاف نتایج کمتری مشاهده گردیده است.

جدول ۶ مقایسه نتایج به دست آمده از مدل‌سازی عددی و شبیه‌سازی آزمایشگاهی را نشان می‌دهد که مطابق با تحقیقات پیشین است. در آبخور ۱۶/۵ سانتی‌متر اختلاف نیروی پسا از مدل عددی و مدل آزمایشگاهی در بیشترین حالت حدود ۷٪ است. در حالی که این تفاوت در آبخور ۸

جدول ۶. اختلاف نیروی پسا از محاسبه شده در مدل آزمایشگاهی و مدل عددی

	سرعت (متر بر ثانیه)					مدل آزمایشگاهی
	۰/۶۴	۰/۶۹	۰/۷۵	۰/۸۰	۰/۸۵	
آبخور ۱۶/۵ سانتی‌متر	۶	۶/۷۶	۷/۷۹	۸/۸۷	۱۰/۷۹	مدل آزمایشگاهی
	۶/۳۶	۷/۲۸	۸/۳۱	۹/۴		مدل عددی
اختلاف (درصد)	۵/۷	۷/۱	۶/۳	۵/۶		
آبخور ۸ سانتی‌متر	۴/۱۴	۴/۶۲	۴/۶۸	۵/۴۹	۵/۹۲	مدل آزمایشگاهی
	۴/۲۹	۴/۸۷	۵/۵۳	۶/۱۷	۶/۸۹	مدل عددی
اختلاف (درصد)	۳/۵	۵/۱	۱۵/۴	۱۱	۱۴/۱	

بیشتر مشاهده می‌شد نیز کاسته شده است. به همین دلیل روند نتایج به دست آمده از آزمون‌های مدل آزمایشگاهی و شیوه‌سازی رایانه‌ای در آبخور ۱۶/۵ متر تناسب بیشتری نسبت به روند نتایج به دست آمده در آبخور ۸ متر نشان داده است.

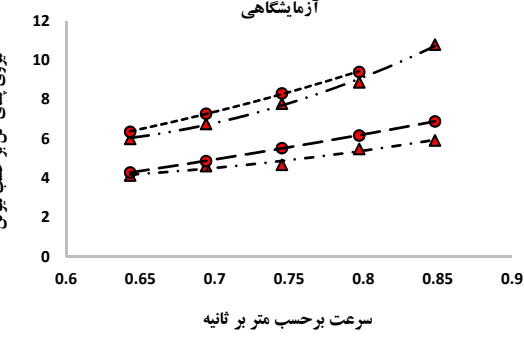
توجه به ارتباط بین مقاومت اصطکاکی و مقاومت کل کشتی روش مناسبی جهت اعتباردهی به نتایج محاسبات عددی و آزمایشگاهی محسوب می‌شود. مطابق نتایج لکنی مقاومت اصطکاکی کشتی‌های بزرگ که با سرعت آهسته حرکت می‌کنند حدود ۸۰ تا ۹۰ درصد مقاومت کل است [۱۸]. همچنین نتایج تحقیقات باراس در خصوص نفت‌کش‌های غول‌پیکر نشان می‌دهد که نسبت مقاومت اصطکاکی به مقاومت کل حدود ۹۰ درصد است. رابطه [۱۹].

$$\frac{R_f}{R_t} = \% 90 \quad (4)$$

با بررسی نتایج این پژوهش در خصوص مقایسه نسبت مقاومت اصطکاکی به مقاومت کل کشتی در اعداد فرود بین ۱۳/۰ تا ۱۶/۰، یعنی در سرعت‌های واقعی کشتی بین ۱۲/۵ تا ۱۶/۵ گردد در آب ساکن مشخص شده است که:

(الف) در مدل آزمایشگاهی، نسبت مقاومت اصطکاکی به

نمودار مقایسه نیروی پسا از محاسبه شده مدل عددی و مدل آزمایشگاهی



شکل ۱۵. مقایسه نیروی پسا از محاسبه شده کشتی به وسیله نرم‌افزار و مدل آزمایشگاهی

شکل ۱۵ نشان می‌دهد که در هر دو آبخور، نیروی پسا از به دست آمده از مدل عددی همواره بیشتر از مقداری به دست آمده از مدل آزمایشگاهی است. همچنین، مطابق جدول ۸ با افزایش آبخور مدل کشتی به ۱۶/۵ سانتی‌متر نسبت مقداری مقاومت اصطکاکی به مقاومت کل افزایش یافته است. به عبارتی مقداری مقاومت اصطکاکی کاهش یافته و با کاهش مقاومت موجی در آبخور ۱۶/۵ سانتی‌متر، از اثر خطای حاصل از مقاومت موجی که در آبخور ۸ سانتی‌متر

جدول ۸. مقادیر مقاومت کل و مقاومت اصطکاکی در مدل آزمایشگاهی

آبخور ۱۶/۵ سانتی متر						
نمودار نمره: (هزار/ ثانیه) و قدر	بُزُونی پیاسی رکلا	محل (بُزُون)	مقاومت اصطکاکی کلی (پیکوپونز)	مقاومت کل کلی (پیکوپونز)	نسبت مقادیر اصطکاکی کل	مقادیر کل کلی (٪)
۰/۶۴۳	۶	۴۵۹۷/۶	۵۱۸۲/۹	۰/۸۹		
۰/۶۹۴	۶/۷۶	۵۱۵۱/۸	۵۸۲۷/۳	۰/۸۸		
۰/۷۴۵	۷/۷۹	۵۹۶۹/۴	۶۷۴۱/۳	۰/۸۹		
۰/۷۹۷	۸/۸۷	۶۸۲۰/۱	۷۶۹۶/۴	۰/۸۹		
۰/۸۴۸	۱۰/۷۹	۸۵۲۳/۹	۹۵۰۸/۶	۰/۹۰		

سانتی متر آبخور ۸						
نمودار نمره: (هزار/ ثانیه) و قدر	بُزُونی پیاسی رکلا	محل (بُزُون)	کلی (پیکوپونز)	کلی (پیکوپونز)	نسبت مقادیر اصطکاکی کل	مقادیر کل کلی (٪)
۰/۶۴۳	۴/۱۴	۳۱۱۳/۹	۳۵۳۹/۶	۰/۸۸		
۰/۶۹۴	۴/۶۲	۳۴۴۲/۳	۳۹۳۳/۶	۰/۸۸		
۰/۷۴۵	۴/۶۸	۳۳۳۰/۳	۳۸۹۱/۸	۰/۸۶		
۰/۷۹۷	۵/۴۹	۳۹۷۴/۱	۴۶۱۱/۵	۰/۸۶		
۰/۸۴۸	۵/۹۲	۴۲۲۲/۳	۴۹۳۸/۵	۰/۸۵		

۶. نتیجه‌گیری

مقاومت کل کشتی‌های نفت‌کش در محیط دریا شامل ۸۰ تا ۹۰٪ مقاومت اصطکاکی و حدود ۱۰ تا ۲۰٪ مقاومت موجی است. در کشتی‌هایی که سهم سطح بیرون از آب بدنه آن‌ها بیشتر است، مانند کشتی‌های مسافربری و کاتینر برها، مقاومت اصطکاکی حدود ۳۰ تا ۴۰ درصد و مقاومت موجی یکی از مؤلفه‌های اصلی اثرگذار بر تغییر الگوی مصرف سوخت این کشتی‌ها به شمار می‌آید. در این پژوهش کاربردی با استفاده از نرم‌افزار قدرتمند دینامیک سیالات محاسباتی انسیس سی‌اف‌ایکس (ANSYS CFX 0)، مدل عددی یک کشتی نفت‌کش غول‌پیکر متعلق به ناوگان شرکت ملی نفت‌کش ایران جهت محاسبه مقادیر نیروی پسای بدنه کشتی با توجه به بیشترین درصد فراوانی شرایط سرویس‌دهی واقعی آن در ۴ سال اخیر یعنی در حالت‌های

مقاومت کل کشتی در کمترین حالت در آبخور ۸ سانتی متر ۸۵ درصد و در بیشترین حالت در آبخور ۱۶/۵ سانتی متر ۹۰ درصد است؛

(ب) در مدل عددی، نسبت مقاومت اصطکاکی به مقاومت کل کشتی در کمترین حالت در آبخور ۸ سانتی متر ۸۹ درصد و در بیشترین حالت در آبخور ۱۶/۵ سانتی متر ۹۳ درصد است.

با استفاده از نسبت‌های ارائه شده در الف و ب که در مقایسه با نتایج تحقیقات بارا س نیز در محدوده مناسبی قرار گرفته است، استنباط می‌شود که در کشتی‌هایی که با سرعت‌های کم حرکت می‌کنند، بیشترین اختلاف نسبت مقاومت اصطکاکی به مقاومت کل در حالت خالی و پر حدود ۵ درصد است. این نکته اهمیت اثر سرعت کشتی را در مقایسه با اثر وزن کشتی بر تغییر مقدار نیروی پسانشان می‌دهد. (جدول ۷ و ۸).

جدول ۷. مقادیر مقاومت کل و مقاومت اصطکاکی در مدل عددی

آبخور ۱۶/۵ سانتی متر						
نمودار نمره: (هزار/ ثانیه) و قدر	بُزُونی پیاسی رکلا	محل (بُزُون)	مقاومت اصطکاکی کلی (پیکوپونز)	مقاط کل کلی (پیکوپونز)	نسبت مقادیر اصطکاکی کل	مقادیر کل کلی (٪)
۰/۶۴۳	۶/۳۶	۴۹۶۶/۷	۵۵۵۲	۰/۸۹		
۰/۶۹۴	۷/۲۸	۵۶۸۴/۹	۶۳۶۰/۵	۰/۸۹		
۰/۷۴۵	۸/۳۱	۶۵۰۲/۶	۷۲۷۴/۵	۰/۸۹		
۰/۷۹۷	۹/۴	۷۳۶۳/۵	۸۲۳۹/۸	۰/۸۹		

آبخور ۸ سانتی متر						
نمودار نمره: (هزار/ ثانیه) و قدر	بُزُونی پیاسی رکلا	محل (بُزُون)	کلی (پیکوپونز)	کل کلی (پیکوپونز)	نسبت مقادیر اصطکاکی کل	مقادیر کل کلی (٪)
۰/۶۴۳	۴/۲۹	۳۴۵۰/۹	۳۶۹۳/۴	۰/۹۳		
۰/۶۹۴	۴/۸۷	۳۸۸۷/۴	۴۱۸۹/۹	۰/۹۳		
۰/۷۴۵	۵/۵۳	۴۳۹۱/۸	۴۷۶۳/۲	۰/۹۲		
۰/۷۹۷	۶/۱۷	۴۸۵۸/۲	۵۳۰۸/۶	۰/۹۲		
۰/۸۴۸	۶/۸۹	۵۳۹۳/۹	۵۹۳۳	۰/۹۱		

[۵] علی‌اکبری تقی، مقدس آهنگری علی‌اصغر، حیدری اسماعیل، وجدي تولون سید سعید. اندازه‌گیری تجربی مقاومت هیدرودینامیکی شناور یدک‌کش. ارائه شده در: هفدهمین همایش صنایع دریایی؛ ۱۳۹۴ دی ۴-۱؛ جزیره کیش، ایران.

[۶] احمدزاده طلاتپه محمد، موسوی سید مجید. شبیه‌سازی عددی خزه‌های دریایی چسبیده به بدنه شناورها و به کارگیری روش‌های کاربردی و نوین به منظور کاهش نیروی درگ ناشی از آن‌ها. نشریه مهندسی دریا؛ ۱۳۹۵؛ ۱۲-۸۲: (۲۳).

[7] Heimann J. CFD Based Optimization of the Wave Making Characteristics of Ship Hulls. Faculty of Mechanical Engineering and Transport Systems of the Technical University Berlin. Mensch & Buch Verlag; 2005.p.189

[8] Özdemir YH, Bayraktar S, Yilmaz T. Computational investigation of a hull. ICMRT 2007. 2nd International Conference on Maritime Research and Transportation; 2007 Jun 28-30; Naples, Italy.

[9] Tsujimoto M, Shibata K, Kuroda M, Takagi K. A practical correction method for added resistance in waves. Journal of the Japan Society of Naval Architects and Ocean Engineers. 2008; 8:177-84.

[10] Banks J, Phillips AB, Turnock S. Free surface CFD prediction of components of Ship Resistance for KCS. In: 13th Numerical Towing Tank Symposium; 2010; Germany.

[11] Kim SO, Ock YB, Heo JK, Park JC, Shin HS, Lee SK. CFD simulation of added resistance of ships in head sea for estimating energy efficiency design index. OCEANS 2014;2014 Sep 14-19; Canada. IEEE Xplore;2015 Jan. p. 1-5.

[12] White F.M., Fluid Mechanics, University of Rhode Island, 8th Edition. McGraw-Hill Education; 2015.p.864

[13] ANSYS CFX Solver Modeling Guide. USA: ANSYS Inc.; 2013. p.626.

[14] Noblesse F, Huang F, Yang C. The Neumann–Michell theory of ship waves. Journal of Engineering Mathematics. 2013; 79(1):51-71.

[15] Huang F, Yang C, Noblesse F. Numerical implementation and validation of the Neumann–Michell theory of ship waves. European Journal of Mechanics-B/Fluids. 2013; 42: 47-68.

خالی و پر (آبخورهای میانگین ۸ و ۱۶/۵ متر) و سرعت‌های ۱۲/۵ تا ۱۶/۵ گره اجرا شده است. جهت اعتبار سنجی، نتایج مدل عددی با نتایج حاصل از اجرای آزمون‌های مدل آزمایشگاهی این نفت‌کش در حوضچه کشش مقایسه شده است. بر اساس راستی آزمایی‌های انجام شده، اختلاف مقادیر به دست آمده نیروی پسا از مدل آزمایشگاهی و مدل عددی در اعداد فرود ۰/۱۶ تا ۰/۱۳، حداقل ۳/۵ و حداً کثر ۱۵/۴ درصد است. با توجه به اختلاف نتایج محاسبه شده در سایر پژوهش‌ها که از ۵ تا ۱۷ درصد متغیر است، خطای محاسباتی نتایج به دست آمده از این پژوهش در محدوده مناسبی ارزیابی می‌شود.

در ادامه پژوهش حاضر پیشنهاد می‌شود در تحقیقات آینده با استفاده از نتایج این پژوهش و گردآوری اطلاعات بلندمدت محیطی مسیر حرکت کشتی، مقادیر کاهش ناخواسته سرعت و افزایش مصرف سوخت کشتی مورد بررسی قرار گیرد.

مراجع

[1] Park BJ, Shin MS, Ki MS, Lee GJ, Lee SB. Experience in Applying ISO19030 to Field Data. In: Bertram V, editor. HullPIC'17. 2nd Hull Performance & Insight Conference; 2017 Mar27-29; Ulrichshusen.

[۲] اکبری زهراء، میر عابدینی سید مجتبی، پازکی فرد شهرهای. اندازه‌گیری درگ زبری پوشش‌های مختلف دریایی با استفاده از دستگاه روتور. ارائه شده در: نهمین کنگره ملی مهندسی شیمی ایران؛ ۱۳۸۳ آبان ۲-۱؛ تهران، ایران.

[۳] میر عابدینی سید مجتبی، پازکی فرد شهرهای، محسنی محسن، شایلوزاده حسین. اثر پوشش‌های دریایی مختلف بر نیروی مقاومت اصطکاکی وارد بر بدنه شناور. مجله علوم و تکنولوژی پلیمر. ۱۳۸۵؛ ۱۹(۴): ۲۶۵-۲۷۵.

[۴] قاسمی مریم، موسوی زادگان سید حسین. روش‌های محاسبه مقاومت اضافی شناور در امواج. ارائه شده در: پانزدهمین همایش صنایع دریایی؛ ۱۳۹۲ آبان ۹-۷؛ جزیره کیش، ایران.

پی‌نوشت

1. ITTC. 2017
2. Octree
3. Delaunay
4. ANSYS FLUENT

- [16] Chi YA, Huang F, Noblesse F. Practical evaluation of the drag of a ship for design and optimization. *Journal of Hydrodynamics, Ser. B.* 2013; 25(5):54-645.
- [17] Ebrahimi A. Numerical Study on Resistance of a Bulk Carrier Vessel Using CFD Method. *Journal of the Persian Gulf.* 2012; 3(10):1-6.
- [18] Lackenby H. Resistance of Ships with Special Reference to skin Friction and Hull Surface Condition. London: Institution of Mechanical Engineers; 1962. p. 981-1014.
- [19] Barrass B. Ship design and performance for masters and mates. 1st Edition. Butterworth-Heinemann; 2004. p.264.